



การพัฒนาเครื่องอบแห้งพลังงานแสงอาทิตย์แบบอุ่มคงค์ เพื่อการแปรรูปผลิตผลทางการเกษตรร่วมกับระบบแก๊สชีไฟเออร์

วัฒนพงษ์ รักษาเวชียร, บงกช ประสิตธิ*, สุขฤตี นาครารณกุล และพิลิษฐ์ มนีโชคิ

Development of the Solar Tunnel Dryer for Agricultural Products Combined with Biomass Gasifier

Wattanapong Rakwichian, Bongkot Prasit*, Sukruedee Nathakaranakule
and Pritis Maneechot

วิทยาลัยพลังงานทดแทน มหาวิทยาลัยนเรศวร อ.เมือง จ.พิษณุโลก 65000

School of Renewable Energy Technology, Naresuan University, Muang District, Phitsanulok, 65000, Thailand.

*Corresponding author : micky_sert@hotmail.com (B. Prasit)

Received 16 February 2004; accepted 26 August 2004

บทคัดย่อ

การใช้เครื่องอบแห้งพลังงานแสงอาทิตย์ในประเทศไทยมีมานานแล้ว แต่ยังไม่เป็นที่แพร่หลายเท่าจากไม่มีการถ่ายทอดเทคโนโลยีไปสู่เกษตรกร นอกจากนี้งานวิจัยส่วนมากเน้นผลิตเครื่องอบแห้งเพื่ออุดหนุนกระบวนการแปรรูป ซึ่งต้องใช้ต้นทุนในการก่อสร้างค่อนข้างสูงทำให้ไม่สามารถขยายเชิงเกษตรกรส่วนใหญ่ซึ่งมีรายได้ต่ำ อย่างไรก็ตามเครื่องอบแห้งพลังงานแสงอาทิตย์แบบอุ่มคงค์เป็นเครื่องอบแห้งที่มีการก่อสร้างไม่ซับซ้อนและใช้ต้นทุนต่ำ งานวิจัยนี้มีวัตถุประสงค์เพื่อพัฒนาเครื่องอบแห้งพลังงานแสงอาทิตย์แบบอุ่มคงค์ที่มีสมรรถนะทางความร้อนสูงกว่าระบบพลังงานความร้อนเสริมจากแก๊สชีไฟเออร์ (gasifier system) เป็นการทดสอบกล่าวแจ้ง ณ วิทยาลัยพลังงานทดแทน มหาวิทยาลัยนเรศวร ทำการเก็บข้อมูลเบื้องต้นของระบบเพื่อนำไปสร้างตัวต้นแบบ ผลการวิจัยพบว่าประสิทธิภาพตัวรับรังสีแสงอาทิตย์มีค่าเฉลี่ย 54.6% และการกระจายอุณหภูมิภายในตู้อบแห้งมีค่าเฉลี่ย 55.9 °C ซึ่งเหมาะสมสำหรับผลิตภัณฑ์ทางการเกษตรได้ ประสิทธิภาพของระบบเครื่องอบแห้งพลังงานแสงอาทิตย์แบบอุ่มคงค์มีค่าเท่ากับ 42.8% และจากการเผาเตาแก๊สชีไฟเออร์ร่วมกับเครื่องอบแห้งพลังงานแสงอาทิตย์ พบว่า อุณหภูมิเฉลี่ยภายในตู้อบแห้งที่สามารถผลิตได้ 57.96 °C จากผลการวิจัยสามารถสรุปได้ว่า เครื่องอบแห้งพลังงานแสงอาทิตย์แบบอุ่มคงค์สามารถใช้ร่วมกับระบบแก๊สชีไฟเออร์ ซึ่งใช้เป็นพลังงานความร้อนเสริมช่วยในการอบแห้งผลิตผลทางการเกษตรระหว่างวันที่ไม่มีแสงแดด

คำสำคัญ : เครื่องอบแห้งพลังงานแสงอาทิตย์แบบอุ่มคงค์ แก๊สชีไฟเออร์

Abstract

Solar dryers have been used in Thailand for many years but have not been widely introduced to farmers. In addition, most research work has been done on an industrial scale with high capital cost, which obstructs most farmers who have low capital income. However, the solar tunnel dryer has low capital cost with less complicated construction. The objective of this study was to develop the high thermal efficiency solar tunnel dryer combined with a biomass gasifier system, of which outdoor testings were investigated at the School of Renewable Energy Technology (SERT), Naresuan University. Preliminary data were collected in order to construct the prototype. The results showed that the average solar collector efficiency was 54.6% and the average inside distribution temperature was 55.9 °C, which was suitable for drying agricultural products. The efficiency of the solar tunnel dryer system was 42.8%. By using a biomass gasifier combined with the drying system, the average temperature in a drying chamber was 57.9 °C. In conclusion, the biomass gasifier can be combined with the solar tunnel drying system as an auxiliary heat source for drying an agricultural product when there is no sunshine.

Keywords : Solar Tunnel Dryer, Gasifier

บทนำ

ประชารัฐของประเทศไทยส่วนใหญ่ประกอบอาชีพเกษตรกรรม ผลผลิตส่วนใหญ่เป็น ข้าว ผัก และผลไม้ แต่ประสบปัญหาเมื่อผลผลิตที่ออกมาก็จาง่ายไม่หมัด ผักและผลไม้ที่เหลือจะเน่าเสียและมีราคาต่ำ ดังนั้นการแปรรูปผักและ ผลไม้ที่เหลือเพื่อเก็บไว้จำหน่ายหรือเก็บไว้บริโภคระยะยาวในระดับอุตสาหกรรมท้องถิ่น จึงมีความจำเป็น การอบแห้งผักและผลไม้เป็นการแปรรูปผลผลิตทางการเกษตรที่น่าสนใจ ส่วนใหญ่ในการอบแห้ง จะใช้พลังงานจากฟืน ไฟฟ้าและน้ำมัน พลังงานแสงอาทิตย์เป็นพลังงานที่เปลี่ยนรูปจากแสงอาทิตย์มาเป็น พลังงานความร้อนเพื่อใช้ในการอบแห้งแทนไฟฟ้าและน้ำมัน ซึ่งเป็นพลังงานที่มีราคาสูง ทั้งยังปล่อยมลพิษ ให้กับสิ่งแวดล้อม ประเทศไทยมีศักยภาพในการใช้พลังงานแสงอาทิตย์เนื่องจากประเทศไทยมีแสงอาทิตย์ เกือบตลอดทั้งปี โดยมีค่าพลังงานแสงอาทิตย์ประมาณ 17 MJ/day m^2 ซึ่งมีศักยภาพเพียงพอที่จะนำมา ใช้งานในรูปของความร้อนในกระบวนการอบแห้ง ซึ่งเป็นที่นิยมทำกันโดยทั่วไปทั้งในระดับชาวบ้านและระดับ อุตสาหกรรม เพิ่มการตากแห้งนี้ง่าย สะดวก และสิ่งเปลี่ยนค่าใช้จ่ายน้อย แต่การตากแห้งของชาวบ้าน เป็นแบบธรรมชาติ ทำให้ได้ผลิตภัณฑ์ที่ไม่ถูกสุขลักษณะ เปื้อนฝุ่นละออง มีแมลงรบกวนหรืออาจวางไข่ไว้ ทำให้ผลิตภัณฑ์เสียหายภายหลังได้ และยังมีปัญหาอันเนื่องมาจากฝนตกซึ่งทำให้เกิดความยุ่งยากใน กระบวนการตากแห้งอีกด้วย

การใช้เครื่องอบแห้งพลังงานแสงอาทิตย์ในประเทศไทยมีมานานแล้ว แต่ยังไม่เป็นที่แพร่หลาย เนื่องจากไม่มีการถ่ายทอดเทคโนโลยีไปสู่เกษตรกร และงานวิจัยส่วนมากเน้นผลิตเครื่องอบแห้งเพื่ออุตสาหกรรม ขนาดกลาง ซึ่งต้องใช้ต้นทุนในการก่อสร้างค่อนข้าง สูงทำให้ไม่สามารถเข้าถึงเกษตรกรส่วนใหญ่ซึ่งมีรายได้ต่ำ วิทยาลัยพลังงานทดแทนได้วางงบประมาณสนับสนุนจากบวงมหาวิทยาลัย ประจำปี 2544 ในหัวข้อเรื่อง “โครงการพัฒนา ล่างเสริม และเผยแพร่การใช้เครื่องอบแห้งพลังงานแสงอาทิตย์แบบอุโมงค์เพื่อการแปรรูป ผลิตผลทางการเกษตร” ซึ่งในโครงการนี้ได้มีการพัฒนาและเผยแพร่การใช้เครื่องอบแห้งดังกล่าวในรูปการสร้าง เครื่องอบแห้งให้กับกลุ่มผู้ใช้งาน 10 เครื่อง และจัดให้มีการฝึกอบรมเชิงวิชาการสำหรับผู้สนใจจำนวน 120 คน ซึ่งได้รับความสนใจเป็นอย่างดีซึ่ง แต่เครื่องอบแห้งดังกล่าวซึ่งข้อจำกัดในการทำงานซึ่งในการอบผลิตภัณฑ์ แต่ละชนิดต้องการอุณหภูมิที่แตกต่างกัน ซึ่งถ้าผลิตภัณฑ์ใดต้องการอุณหภูมิอากาศอบแห้งที่ใกล้เคียงกัน ก็สามารถใช้เป็นตัวแทนของการอบแห้งผลิตภัณฑ์นั้นได้ แต่ถ้าผลิตภัณฑ์ชนิดใดต้องการอุณหภูมิที่สูง และแตกต่างกันมากจะทำให้เกิดปัญหาในการอบแห้งผลิตภัณฑ์นั้น ซึ่งทำให้ไม่สามารถอบแห้งผลิตภัณฑ์ได้ ทุกชนิดตามความต้องการของผู้ใช้ เช่น การอบแห้งกล้วยจะใช้อุณหภูมิในระดับ $40-50^\circ\text{C}$ ซึ่งในการอบแห้ง ลำไยทั้งเปลือกต้องใช้อุณหภูมิสูง ประมาณ $80-90^\circ\text{C}$ เป็นต้นและระบบพลังงานความร้อนเสริม ในเครื่องอบแห้งพลังงานแสงอาทิตย์นี้ใช้คลอดไฟฟ้ามีผลทำให้เกิดความล้าเปลี่ยง อีกทั้งไม่เป็นไปตาม แนวทางการอนุรักษ์พลังงาน ซึ่งในปัจจุบันนี้จากการสำรวจพบว่า เกษตรกรที่ทำการอบแห้งอยู่นั้นมีวัสดุเหลือใช้ จากการอบแห้งเป็นจำนวนมาก เช่น เปลือกล้วย ฟาง เงามันล้าประหลัง เป็นต้น สามารถนำมาเป็นเชื้อเพลิงใน ระบบพลังงานความร้อนเสริมในช่วงที่ไม่มีแสงแดดรโดยใช้ระบบแก๊สชีฟเฟอร์ (Gasifier System) ได้ ถ้ามีการศึกษาและพัฒนาสมรรถนะของเครื่องอบแห้งพลังงานแสงอาทิตย์แบบอุโมงค์ให้มีความเหมาะสมสามารถ อบแห้งผลิตภัณฑ์ได้หลากหลายชนิดจะทำให้ผู้ใช้เกิดประโยชน์สูงสุดจากการใช้งาน โดยเครื่องอบแห้ง พลังงานแสงอาทิตย์แบบอุโมงค์เป็นเครื่องอบแห้งที่มีต้นทุนในการก่อสร้างต่ำ การก่อสร้างไม่ยุ่งยากซับซ้อน และยังเป็นเครื่องอบแห้งที่ทำงานได้ดี หากได้รับการพัฒนาเพิ่มเติมให้สามารถปรับอุณหภูมิอากาศอบแห้งได้ หลายระดับจะมีความเหมาะสมต่อการเผยแพร่ให้เกษตรกรหรือผู้ที่สนใจการแปรรูปผลผลิตทางการเกษตร นำไปใช้ในการอบแห้งเพื่อเพิ่มน้ำค่าของผลผลิตนั้นและพัฒนาเป็นหนึ่งตำบลที่มีผลิตภัณฑ์ที่ดีไป

ทฤษฎีแก๊สชีไฟเออร์ และการอบแห้งด้วยพลังงานแสงอาทิตย์

ในการวิจัยนี้ผู้วิจัยได้ศึกษาค้นคว้าข้อมูลที่เกี่ยวข้องจากเอกสารตำราประกอบซึ่งจะช่วยให้การศึกษาวิจัยเป็นไปด้วยดี และมีประสิทธิภาพดียิ่งขึ้น ดังนี้

แก๊สชีฟิเคชั่นเป็นกระบวนการที่เกิดขึ้นในเตากำเนิดแก๊ส หรือ แก๊สชีไฟเออร์ การเกิดกระบวนการแก๊สชีฟิเคชั่น นั้นเป็นปฏิกิริยาเคมีแบบ โยโนเจนส์ และ โยโนเจนส์ คือเป็นปฏิกิริยาระหว่างสารที่มี 2 สภาวะมาทำปฏิกิริยาซึ่งกันและกันหรืออาจจะอยู่ในสภาวะเดียวกัน โดยทั่วไปในการเกิดกระบวนการ แก๊สชีฟิเคชั่น นั้นจะใช้ออกซิเจน ที่มีอยู่ในอากาศ (ในปริมาณที่จำกัด) ไปทำปฏิกิริยาการเผาไหม้กับเชื้อเพลิงเพื่อให้เกิดความร้อนและก๊าซ CO_2 เพื่อนำไปทำปฏิกิริยาเคมีอื่น ๆ ต่อไป การเรียกชื่อเตากำเนิดแก๊ส สามารถแบ่งได้ดังนี้คือ

1. Air-Blown Gasification

ใช้อากาศธรรมดามาเป็นตัวทำปฏิกิริยา กับเชื้อเพลิงในชั้นการเผาไหม้ก่อนหลังจากนั้นความร้อนและ CO_2 ที่เกิดขึ้นจากชั้นเผาไหม้จะถูกใช้เพื่อผลิต Producer Gas โดยกระบวนการ แก๊สชีฟิเคชั่น แก๊สที่ได้ทั้งหมดจะเป็น Low-BTU-Gas โดยมี N_2 ที่อยู่ในอากาศเป็นส่วนประกอบหลักโดยจะมีอยู่ราว 60–70%

2. Oxidative Gasification

เป็นการใช้ก๊าซ O_2 แทนอากาศ ซึ่งจะเป็นผลให้ประสิทธิภาพเชิงความร้อนของ Producer Gas สูงขึ้น เพราะไม่มี N_2 ปะปนมา การควบคุมกระบวนการเผาไหม้จะสามารถทำได้ดีกว่า ในทางปฏิบัตินั้นต้องคำนึงถึง ต้านเศรษฐศาสตร์เป็นสำคัญ เพราะราคาของ O_2 บริสุทธิ์แพงเมื่อเทียบกับอากาศธรรมดานะคราเวใช้มีอัตราติดตัน เป็นค่านหินเท่านั้น

3. Steam Gasification

จะใช้ไอน้ำเข้าไปทำปฏิกิริยา กับเชื้อเพลิง ซึ่งจะช่วยเพิ่มปริมาณ Producer Gas โดยเฉพาะ H_2 แต่อุณหภูมิในเตาต้องสูงหรือไม่ควรต่ำกว่า 800°C จึงสามารถทำให้ปฏิกิริยาเคมีดำเนินไปได้อย่างดี

4. Hydrogasification

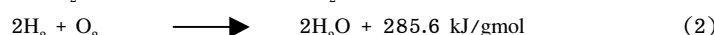
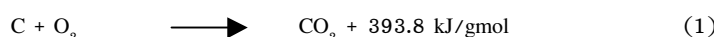
เป็น แก๊สชีฟิเคชั่น ที่ใช้ไฮโดรเจน ทำปฏิกิริยา กับเชื้อเพลิงไม่มีการใช้ O_2 หรือ อากาศ โดยปกติ จะเกิดปฏิกิริยาขึ้นที่อุณหภูมิประมาณ 750°C และต้องใช้ความดันเข้าช่วย ซึ่งความดันในเตาปฏิกรณ์ บางชนิดอาจจะสูงมากถึง 20 เมกะปاسคัล แก๊สที่ได้เป็น CH_4 ส่วนใหญ่ CH_4 ที่ได้ส่วนมากจะถูกใช้เป็นวัตถุติดล้าน้ำรับเชื้อเพลิงสังเคราะห์ (Synthetic Fuel) ต่อไป

ปฏิกิริยาที่สำคัญที่เกิดขึ้นในแต่ละชั้นของ แก๊สชีไฟเออร์

ในเตาผลิตแก๊สที่ไปสามารถถูกแบ่งออกเป็นชั้นที่สำคัญ ได้ 4 ชั้นโดยชั้นอยู่กับอุณหภูมิ ปฏิกิริยา และผลผลิตที่เกิดขึ้นในแต่ละชั้น ในความเป็นจริงแต่ละชั้นอาจจะเหลือมล้า (Overlap) อยู่ก็ได้

1. ชั้นเผาไหม้ (Combustion Zone)

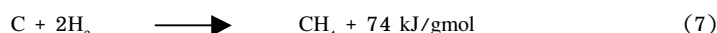
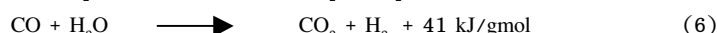
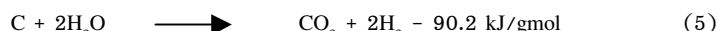
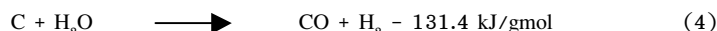
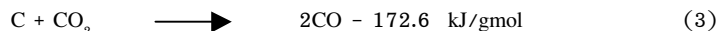
ในบริเวณนี้ carbонจะเผาไหม้กับออกซิเจนที่มีอยู่ในอากาศในปริมาณจำกัด (Partial Combustion) ด้วยปฏิกิริยาดังต่อไปนี้



ปฏิกิริยาในชั้นเผาไหม้เป็นปฏิกิริยาคายความร้อน อุณหภูมิในชั้นนี้อยู่ระหว่าง $900-1,200^\circ\text{C}$ ความร้อนที่เกิดขึ้นในชั้นนี้ถูกนำไปใช้ในปฏิกิริยาแบบดูดความร้อนในชั้นรีดักชันและชั้นกลั่นสลายผลผลิตหลักที่ได้จากการทำปฏิกิริยาในชั้นเผาไหม้นี้คือ ความร้อน และเส้าถ่าน

2. ชั้นเรตักชั่น (Reduction Zone or Gasification Zone)

ก๊าซ CO_2 และไอน้ำที่ได้จากการเผาไหม้ในชั้นเผาไหม้จะไหลเข้าสู่ชั้นเรตักชั่น ปฏิกิริยาเกิดขึ้นในชั้นนี้เป็นปฏิกิริยาที่เปลี่ยนก๊าซ CO_2 และไอน้ำ ให้เป็นแก๊สเชื้อเพลิงที่เผาไหม้ โดยก๊าซ CO_2 จะไหลผ่านคาร์บอนที่ร้อนและเกิด CO ดังสมการที่ (3) อุณหภูมิที่เหมาะสมในชั้นนี้อยู่ประมาณมากกว่า 500 - 1,000 °C



ปฏิกิริยาในสมการที่ (3) เรียกว่า Boudouard Reduction Reaction ซึ่งเป็นปฏิกิริยาดูดความร้อน (Endothermic Reaction) ในกรณีที่ต้องการเพิ่มปริมาณของ CO สามารถทำได้โดยจีดไอน้ำร้อนเข้าไป ซึ่งไอน้ำจะทำไปทำปฏิกิริยากับคาร์บอนดังสมการที่ (4) ได้แก๊ส CO และ H_2 เพิ่มขึ้น ซึ่งเรียกปฏิกิริยานี้ว่า Watergas Reaction ซึ่งก็เป็นปฏิกิริยาดูดความร้อนและจะเกิดขึ้นได้ต่ออุณหภูมิสูงกว่า 800 °C

สำหรับปฏิกิริยาที่ (5) จะเกิดขึ้นที่อุณหภูมิประมาณ 500-600 °C ปฏิกิริยานี้ทำให้ส่วนผสมของไฮโดรเจนใน Producer Gas มากขึ้น ซึ่งมีผลทำให้ค่าพลังงานความร้อนของแก๊สสูงขึ้นแต่ค่ามีไอน้ำมากเกินไป ไอน้ำอาจทำปฏิกิริยากับคาร์บอนบนอนออกไซด์ ให้คาร์บอนไดออกไซด์และไฮโดรเจนตามปฏิกิริยาที่ (6) เรียกปฏิกิริยานี้ว่า Water Shift Reaction ทำให้ค่าความร้อนของแก๊สที่ได้ลดลง ปริมาณของไฮโดรเจนจะสูงสุดเมื่ออุณหภูมิของโซนเรตักชันอยู่ประมาณ 700 °C เมื่ออุณหภูมิสูงขึ้นเรื่อยๆ ปริมาณไฮโดรเจนจะลดลงเรื่อยๆ แต่ปริมาณคาร์บอนบนออกไซด์จะเพิ่มขึ้น อนึ่งภายใต้ความดันสูง ไฮโดรเจนอาจจะไปรวมตัวกับคาร์บอนและผลิต CH_4 ออกมาได้ซึ่งเรียกปฏิกิริยานี้ว่า Methane Reaction ดังสมการที่ (7) โดยจะเกิดขึ้นได้ต่ออุณหภูมิไม่สูงมากนัก

3. ชั้นกลั่นสลาย (Distillation Zone)

ในชั้นนี้เชื้อเพลิงได้รับความร้อนจากชั้นเผาไหม้ เพื่อสลายสารอินทรีย์ในเชื้อเพลิงทำให้สารระเหย (Volatile Matter) ต่างๆ ออกมานะ ซึ่งประกอบไปด้วยเมทานอล กรดน้ำส้ม น้ำมันดิบ และแก๊สที่เผาไหม้ได้และไม่ได้อุณหภูมิในชั้นนี้ประมาณ 135-600 °C ของแข็งที่เหลืออยู่หลังกระบวนการนี้คือคาร์บอนในรูปถ่าน (Fixed Carbon) ดังสมการที่ (8)



4. ชั้นลดความชื้น (Drying Zone)

ในชั้นนี้อุณหภูมิไม่สูงพอก็จะทำให้เกิดการสลายตัวของสารระเหยต่างๆ ความร้อนที่ได้รับมาจากการ Pyrolysis จะระเหยความชื้นที่มีอยู่ในช่วงเวลาให้ออกมาในรูปของไอน้ำอุณหภูมิในชั้นนี้จะอยู่ที่ประมาณ 100-135 °C (วิภาวรรณ, 2544)

การอบแห้งด้วยพลังงานแสงอาทิตย์ (วัฒนพงษ์, 2540)

การอบแห้ง คือกระบวนการที่ความร้อนถูกถ่ายเทด้วยวิธีไดร์ริ่ฟ์ ไฟยังวัสดุที่มีความชื้นเพื่อลดความชื้นออกโดยการระเหย ในที่นี้จะกล่าวถึงการอบแห้งผลิตภัณฑ์อาหารเท่านั้น ซึ่งผลิตภัณฑ์อาหารส่วนมากจะไม่ใช้วัสดุที่สามารถทำให้แห้งจนความชื้นมีค่าเป็นศูนย์ได้ แต่จะมีความชื้นจำนวนหนึ่งแห้งอยู่

(Hygroscopic Materials) เช่น ผัก ผลไม้ และเนื้อสัตว์ต่างๆ ซึ่งต่างจากวัสดุบางอย่าง เช่น ทราย หรือน้ำซึ่งสามารถทำให้แห้งจนความชื้นมีค่าเป็นศูนย์ได้ (Non-Hygroscopic Materials)

ความชื้นในวัสดุ

ความชื้นในผลิตภัณฑ์อาหารและเมล็ดพืชมีทั้งความชื้นที่เกาะติดที่ผิวของวัสดุ (Unbound Moisture) ซึ่งสามารถไล่ความชื้นนี้ออกໄไปได้หมดโดยการให้ความร้อน ความชื้นอาจเกาะติดอยู่ภายในผนังด้านในท่อเล็กที่อยู่ภายในเนื้อวัสดุ (Bound Moisture) โดยไม่สามารถไล่ความชื้นภายนอกในวัสดุนี้ได้หมด ปริมาณความชื้นในวัสดุสามารถแสดงได้ 2 แบบ

ปริมาณความชื้นมาตรฐานเปียก (Wet Basic) คือ อัตราส่วนน้ำหนักของน้ำในวัสดุต่อน้ำหนักวัสดุชั้น ซึ่งเมื่อคูณด้วย 100 จะมีค่าเป็นเปอร์เซ็นต์ ดังนี้

$$M_w = \frac{(w - d) \times 100}{w} \quad (9)$$

เมื่อ M_w = เปอร์เซ็นต์ความชื้นมาตรฐานเปียก, %
 w = น้ำหนักเครื่องตันของวัสดุชั้น, kg
 d = น้ำหนักของวัสดุแห้ง, kg

การแสดงความชื้นแบบนี้นิยมใช้ในทางการค้า

ปริมาณความชื้นมาตรฐานแห้ง (Dry Basics) คืออัตราส่วนน้ำหนักของน้ำในวัสดุต่อน้ำหนักวัสดุแห้งซึ่งหาค่าเป็นเปอร์เซ็นต์ ดังนี้

$$M_d = \frac{(w - d) \times 100}{d} \quad (10)$$

เมื่อ M_d = เปอร์เซ็นต์ความชื้นมาตรฐานแห้ง, %

การแสดงความชื้นแบบนี้ล้วนใหญ่ใช้ทางด้านงานวิจัย เพราะสามารถคำนวณค่าต่างๆ ที่เกี่ยวข้องในกระบวนการอบแห้งได้่ายั่งขึ้น เนื่องจากน้ำหนักแห้งของวัสดุคงที่

สมดุลพลังงานสำหรับการอบแห้ง (Energy Balance)

ในกระบวนการอบแห้ง ความร้อนแหงที่ใช้ในการระเหยน้ำจากผลิตภัณฑ์เท่ากับความร้อนสัมผัสของอุณหภูมิที่เปลี่ยนแปลงเมื่ออากาศไหหล่านผลิตภัณฑ์ ซึ่งเชียน สมการได้ว่า

$$M_w h_{fg} = m_a c_a (T_i - T_f) \quad (11)$$

เมื่อ M_w = มวลของน้ำระเหย, kg
 h_{fg} = ความร้อนแหงของการระเหยน้ำในวัสดุ, kJ/kg
 m_a = มวลของอากาศที่ใช้อบแห้ง, kg
 c_a = ความจุความร้อนของอากาศที่ความดันคงที่, kJ/kg °C
 T_i = อุณหภูมิของอากาศร้อนก่อนอบแห้งวัสดุ, °C
 T_f = อุณหภูมิของอากาศหลังอบแห้ง, °C

จากสมการหมายเลขอ 11 จะเห็นได้ว่า สามารถถอดหาค่า m_a ได้ ทำให้สามารถถอดหาค่าปริมาตรของอากาศที่ใช้อบ และถ้ารู้ว่าวัสดุจะแห้งภายในกี่วัน และในแต่ละวันใช้เวลาอบกี่ชั่วโมงจะสามารถถอดหาอัตราการไหลดของอากาศที่ใช้อบได้

ประสิทธิภาพเชิงความร้อนของเครื่องอบแห้ง

ประสิทธิภาพเชิงความร้อนของเครื่องอบแห้งโดยทั่วไปสามารถถอดได้ เมื่อทราบปริมาณน้ำที่ระเหยจากวัสดุอบแห้งทั้งหมด และทราบค่าความร้อนของอากาศศูนย์แห้งซึ่งมีค่าลดลง นั่นคือ

$$\text{ประสิทธิภาพเชิงความร้อน} = \frac{\text{น้ำหนักน้ำที่ระเหย} \times \text{ความร้อนแห้ง}}{\text{ปริมาณความร้อนจากอากาศศูนย์แห้ง}} \quad (12)$$

ในกรณีเครื่องอบแห้งพลังงานแสงอาทิตย์ ซึ่งอากาศได้รับพลังงานความร้อนจากตัวรับรังสีแสงอาทิตย์ ประสิทธิภาพเชิงความร้อนของเครื่องอบแห้ง สามารถคำนวณได้ดังนี้

$$\eta = \frac{m h_{fg} \times 100}{G_T A} \quad (13)$$

เมื่อ	η	= ประสิทธิภาพเชิงความร้อนของเครื่องอบแห้ง, %
	m	= น้ำหนักของน้ำที่ระเหย, kg
	h_{fg}	= ความร้อนแห้งของกรากายเป็นไอ, kJ/kg
	G_T	= ค่ารังสีดูดอาทิตย์รวมที่ตอกกระเบนพื้นราบท่อตารางเมตรต่อวัน, W/m ²
	A	= พื้นที่รับรังสีดูดอาทิตย์ของเครื่องอบแห้ง, m ²

ประสิทธิภาพตัวรับรังสีแสงอาทิตย์ สามารถคำนวณได้จาก

$$\eta_c = \frac{m C_p (t_{oc} - t_{ic}) \times 100}{G_T A_c} \quad (14)$$

เมื่อ	η_c	= ประสิทธิภาพตัวรับรังสีแสงอาทิตย์, %
	m	= อัตราการไหลดของอากาศ, kg/s
	G_T	= ค่ารังสีแสงอาทิตย์, kW/m ²
	A_c	= พื้นที่ตัวรับรังสีแสงอาทิตย์, m ²
	t_{ic}	= อุณหภูมิอากาศใหม่หลังจากไหลดแห้ง, °C
	t_{oc}	= อุณหภูมิอากาศใหม่หลังจากไหลดออกจากการตัวรับรังสีแสงอาทิตย์, °C
	C_p	= ความจุความร้อนของอากาศ, kJ/kg.°C

ประสิทธิภาพของตัวแอลกเปลี่ยนความร้อน สามารถคำนวณได้จาก

$$\eta_{\text{eff}} = \frac{\Delta E_a \times 100}{\Delta E_s} \quad (15)$$

เมื่อ η_{eff} = ประสิทธิภาพของตัวแอลกเปลี่ยนความร้อน, %
 ΔE_a = เป็นพลังงานความร้อนที่ได้จากการเผาไหม้ MJ
 ΔE_s = เป็นพลังงานความร้อนจากไอน้ำที่จ่ายให้ตัวแอลกเปลี่ยนความร้อน, MJ

จากการศึกษาเอกสารและงานวิจัยที่เกี่ยวข้องทั้งหมดเพื่อนำมาทำการออกแบบและดำเนินการวิจัย ดังนี้ พิเชษฐ์ (2528) ศึกษาผลของตัวแปรที่มีผลต่อการผลิตแก๊สจากเตาชนิดไหหลง พบว่า การเพิ่มอัตราการไหลของแก๊สเม็ดให้เกิด CO และ H₂ เพิ่มขึ้น การเพิ่มปริมาตร Reduction Zone โดยการเลื่อนระยะห่างระหว่าง Throat กับ Grate มีผลให้เกิด CO เพิ่มขึ้นอย่างชัดเจน

มนพ (2528) ศึกษาการผลิต Producer Gas จากถ่านไม้โดยเตาผลิตแก๊สชนิดไหหลง เพื่อศึกษาขนาดของ Combustion Zone และ Reduction Zone ที่มีผลต่อ Producer Gas พบว่า ระยะ Combustion Zone ลดลงเมื่อให้ปริมาณ CO เพิ่มสูงขึ้น จนถึงจุดหนึ่งแล้วจะลดลง ปริมาณ CO สูงสุด 22.4% ที่ระยะห่าง Chock Plate กับ Nozzel เท่ากับ 9.5 cm ส่วนความสูง Reduction Zone ที่เหมาะสม เท่ากับ 27.5 cm

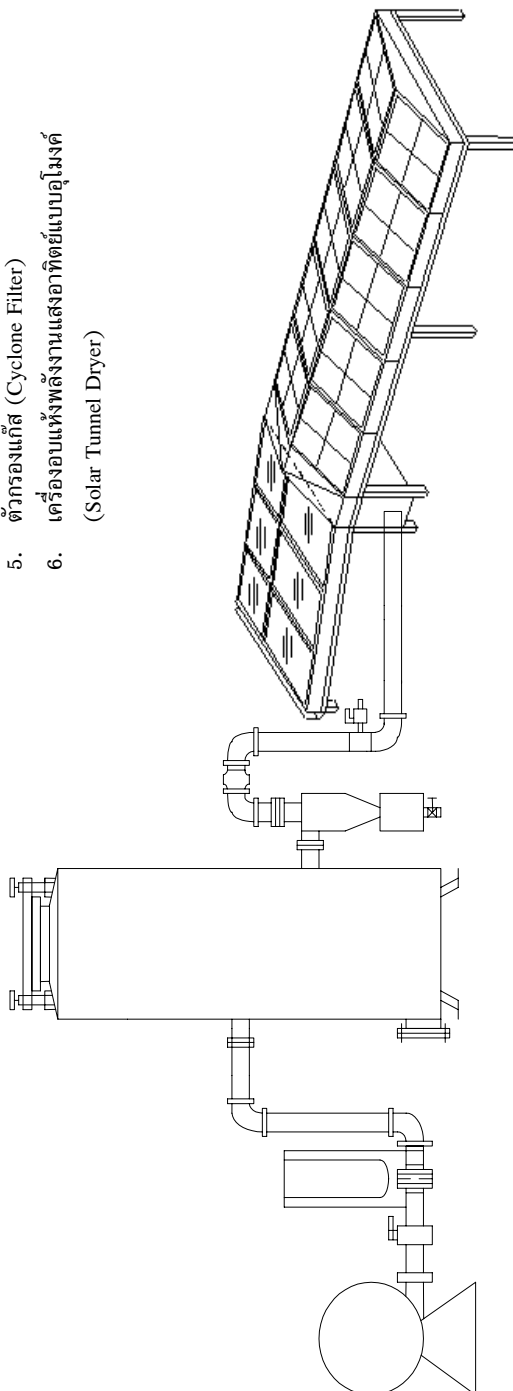
บวรพรรณ (2529) ออกแบบสร้างเตาผลิตแก๊สชนิดไหหลงโดยใช้ถ่านไม้เป็นเชื้อเพลิง เพื่อศึกษาความเหมาะสมของการทำความสะอาด Producer Gas โดยใช้สตุกรอง 5 ชิ้น ประกอบด้วย ในล่อน แกลบัน ไฟเบอร์กลาส ผ้าดิบ และสีสี จากการทดลองพบว่า แกลบันเป็นสตุกรองที่มีประสิทธิภาพในการกักเก็บฝุ่นสูงที่สุดเฉลี่ย 98% การสูญเสียความดันต่ำสุด 0.5–1.5 cm. H₂O ส่วนในล่อนมีประสิทธิภาพต่ำสุด

Arthayukti และคณะ (1984) ศึกษาการผลิต Producer Gas จากเตาผลิตแก๊สชนิดไหหลงแบบท่อตรงโดยใช้ชั้งข้าวโพดเป็นเชื้อเพลิง การทดลองพบว่า ท่อตราชารไหของอากาศต่ำๆ Producer Gas จะมี Tar ประปอนอยู่สูงและมีปัญหาการไหเลื่อนของเชื้อเพลิง

Ida และคณะ (1986) ทดสอบเตาผลิตแก๊สแบบไหชั้น โดยใช้ถ่านเป็นเชื้อเพลิง พบว่าความเร็วขั้นของ CO ล้มพ้นธันวาค่าอุณหภูมิสัมบูรณ์ และจากการทดลองครั้งนี้พบว่า เมื่อใช้ขนาด กะลาเล็กกว่า 1.25 cm อัตราการไหของอากาศเข้า 3.7 cm³/hr เปอร์เซ็นต์ CO ในแก๊สชีวน้ำผลิตได้สูงสุด 33.8% ที่เวลา 80 นาที

วัฒนพงษ์ และคณะ (2544) ได้พัฒนา ส่งเสริม และเผยแพร่การใช้เครื่องอบแห้งพลังงาน แสงอาทิตย์แบบอุ่มงค์ เพื่อแปรรูปผลทางการเกษตร ทดสอบพบว่า อุณหภูมิภายในเครื่องอบแห้งสูงได้ถึงเฉลี่ย 50 °C สามารถใช้ในการอบแห้งได้หลายผลิตภัณฑ์ เนื่องจากมีแหล่งพลังงานความร้อนเสริม มีความเหมาะสมในการส่งเสริมให้กับเกษตรกรเนื่องจากเกษตรสามารถเข้าใจในการใช้งานและดูแลรักษางานซึ่งช่วยระบบได้เพิ่มระบบถูกออกแบบให้ง่ายต่อการใช้งาน และใช้สตุกที่เก็บตกรคุ้นเคยและหาได้ง่ายในท้องถิ่น

1. พัดลม (Blower)
 2. วาล์ฟไบส์เลือก (Butterfly Valve)
 3. манิometر (Manometer)
 4. ตัววนดูร์เพลทลิชีไฟออร์ (Downdraft Gasifier)
 5. ตัวกรองแมกนีติก (Cyclone Filter)
 6. เครื่องอบแห้งพลาสติกแบบอุ่นโดยไม้สัก (Solar Tunnel Dryer)



ลักษณะการทำงานโดยสรุป

เครื่องอบแห้งพลังงานแสงอาทิตย์แบบอุ่มงค์ มีส่วนประกอบหลัก 3 ส่วนคือ (1) ตัวรับรังสี แสงอาทิตย์ (2) อุ่มงค์อบแห้ง (3) แหล่งพลังงานความร้อนเสริม เครื่องอบแห้งพลังงานแสงอาทิตย์แบบอุ่มงค์ เป็นเครื่องอบแห้งที่มีแผงรับรังสีแสงอาทิตย์แยกออกจากตัวเครื่องอย่างต่ำ 17 องศา กับแนวระดับ พลิตภัณฑ์ที่วางไว้ในอุ่มงค์อบแห้งสามารถรับความร้อนจากแสงอาทิตย์ 2 ทางคือ ได้รับความร้อนจาก แสงอาทิตย์โดยตรงเนื่องจากหลังคาของอุ่มงค์อบแห้งเป็นพลาสติกใส และได้รับความร้อนจากอากาศร้อน ที่ไหลผ่านแผงรับรังสีแสงอาทิตย์ โดยใช้พัดลมในการกำหนดอัตราการไหลของอากาศร้อนภายในเครื่องอบแห้ง และในตอนที่ไม่มีแสงอาทิตย์หรือแสงอาทิตย์ไม่เพียงพอ ผ่านตกตลดอทั่ววัน จะมีแหล่งพลังงานความร้อนเสริม ช่วยจากเตาเผาแก๊สชิฟเฟอร์ (Downdraft Gasifier) ส่งความร้อนผ่านระบบแลกเปลี่ยนความร้อน (Heat Exchanger) ภายในเครื่องอบแห้งทำให้ระบบสามารถอบแห้งได้ตลอดทั้งกลางวันและกลางคืน

วิธีการทดสอบ

ในการทดสอบเป็นการทดสอบกล้างแจ้ง ณ วิทยาลัยพลังงานทดแทน มหาวิทยาลัยนเรศวร โดยทำการเก็บข้อมูลเบื้องต้นของระบบเพื่อนำไปสร้างตัวต้นแบบต่อไปในระยะที่ 2 ของโครงการ ในการทดสอบแบ่งชั้นตอนออกเป็น 4 ชั้นตอน

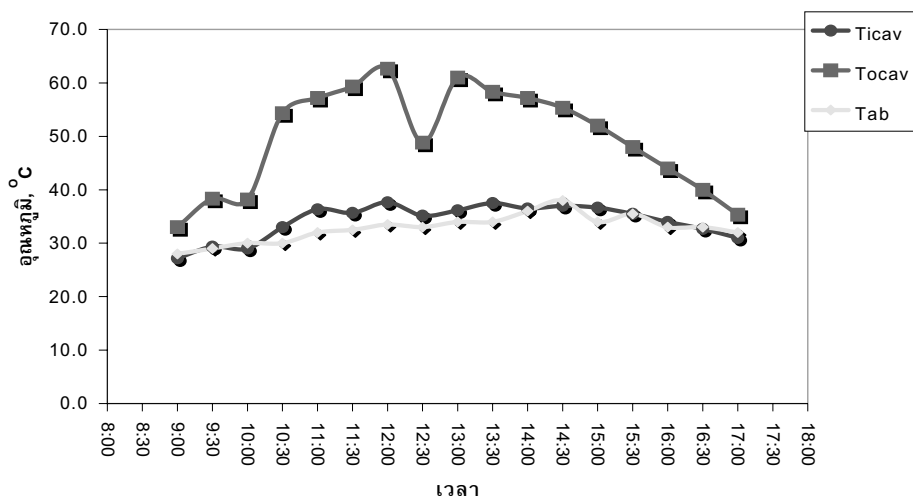
1. การทดสอบเครื่องอบแห้งพลังงานแสงอาทิตย์แบบอุ่มงค์ (Solar Tunnel Dryer) (โดยไม่มี พลิตภัณฑ์ที่ตู้อบแห้งพลังงานแสงอาทิตย์) เพื่อหาประสิทธิภาพตัวรับรังสีแสงอาทิตย์ และการกระจายอุณหภูมิ ภายในตู้อบแห้งพลังงานแสงอาทิตย์
2. ทำการปิดตัวรับรังสีแสงอาทิตย์ เพื่อดูการกระจายอุณหภูมิภายในตู้อบแห้งพลังงานแสงอาทิตย์
3. ทำการอบแห้งผลิตภัณฑ์ (กล้วยน้ำว้า) จำนวน 150 – 200 กิโลกรัม คำนวณหาประสิทธิภาพ เชิงความร้อนของตู้อบแห้งพลังงานแสงอาทิตย์ โดยไม่มีระบบเตาเผา Gasifier
4. ทำการทดสอบเตาเผา Gasifier ด้วยวัสดุเชื้อเพลิง (ซังชาร์โพด)



รูปที่ 2 กิจกรรมการดำเนินการทดสอบระบบ

ผลการวิจัย

ขั้นตอนที่ 1 การทดสอบเครื่องอบแห้งพลังงานแสงอาทิตย์แบบอุโมงค์ (Solar Tunnel Dryer) (โดยไม่มีผลิตภัณฑ์ที่ต้องอบแห้งพลังงานแสงอาทิตย์) เพื่อหาประสิทธิภาพตัวรับรังสีแสงอาทิตย์ และการกระจายอุณหภูมิกายในตู้อบแห้งพลังงานแสงอาทิตย์

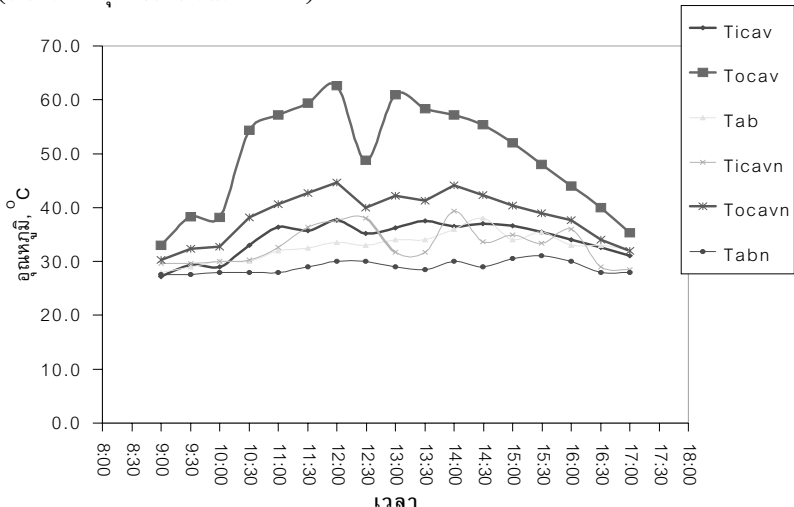


รูปที่ 3 ความสัมพันธ์ของอุณหภูมิที่ทางเข้าและทางออกของตัวรับรังสีแสงอาทิตย์ และอุณหภูมิอากาศแวดล้อม

จากราฟอุณหภูมิเฉลี่ยทางออกสูงสุดของตัวรับรังสีแสงอาทิตย์ (T_{ocav}) 61.0°C อุณหภูมิเฉลี่ยทางเข้าสูงสุดของตัวรับรังสีแสงอาทิตย์ (T_{icav}) 36.2°C แตกต่างกันโดยเฉลี่ย 24.8°C อุณหภูมิเฉลี่ยทางเข้าของตัวรับรังสีแสงอาทิตย์ (T_{icav}) 34.1°C อุณหภูมิเฉลี่ยทางออกของตัวรับรังสีแสงอาทิตย์ (T_{ocav}) 49.6°C แตกต่างกันโดยเฉลี่ย 15.5°C อุณหภูมิอากาศแวดล้อมโดยเฉลี่ย (T_{ab}) 32.8°C

เมื่อพิจารณาความสัมพันธ์อุณหภูมิภายในตู้แห่งพลังงานแสงอาทิตย์ และอุณหภูมิอากาศแวดล้อม พบร่วมกัน อุณหภูมิเฉลี่ยสูงสุดภายในตู้อบแห่งพลังงานแสงอาทิตย์ระดับล่าง (T_{dlav}) 70.6°C อุณหภูมิเฉลี่ยสูงสุดภายในตู้อบแห่งพลังงานแสงอาทิตย์ระดับกลาง (T_{dmav}) 69.0°C อุณหภูมิเฉลี่ยสูงสุดภายในตู้อบแห่งพลังงานแสงอาทิตย์ระดับบน (T_{duav}) 67.5°C ซึ่งอุณหภูมิในระดับต่างๆ ของเครื่องอบแห่งพลังงานแสงอาทิตย์ไม่มีความแตกต่างกันมาก อุณหภูมิเฉลี่ยภายในตู้อบแห่งพลังงานแสงอาทิตย์ระดับล่าง (T_{dlav}) 55.6°C อุณหภูมิเฉลี่ยภายในตู้อบแห่งพลังงานแสงอาทิตย์ระดับกลาง (T_{dmav}) 56.3°C อุณหภูมิเฉลี่ยภายในตู้อบแห่งพลังงานแสงอาทิตย์ระดับบน (T_{duav}) 55.9°C อุณหภูมิอากาศแวดล้อมโดยเฉลี่ย (T_{ab}) 32.8°C และความสัมพันธ์ระหว่างความเข้มรังสีแสงอาทิตย์และประสิทธิภาพตัวรับรังสีแสงอาทิตย์ พบร่วมกัน ความเข้มรังสีแสงอาทิตย์สูงสุด (G_r) 896.0 W/m^2 โดยเฉลี่ยทั้งวันมีความเข้มรังสีแสงอาทิตย์ 618.4 W/m^2 ประสิทธิภาพตัวรับรังสีแสงอาทิตย์สูงสุด 64.5% และประสิทธิภาพตัวรับรังสีแสงอาทิตย์โดยเฉลี่ย 54.6%

ขั้นตอนที่ 2 ทำการปิดตัวรับรังสีแสงอาทิตย์ เพื่อดูผลกระทบจากอุณหภูมิภายในตู้อบแห่งพลังงานแสงอาทิตย์ (ใช้ผ้าสีดำคลุมตัวรับรังสีแสงอาทิตย์)

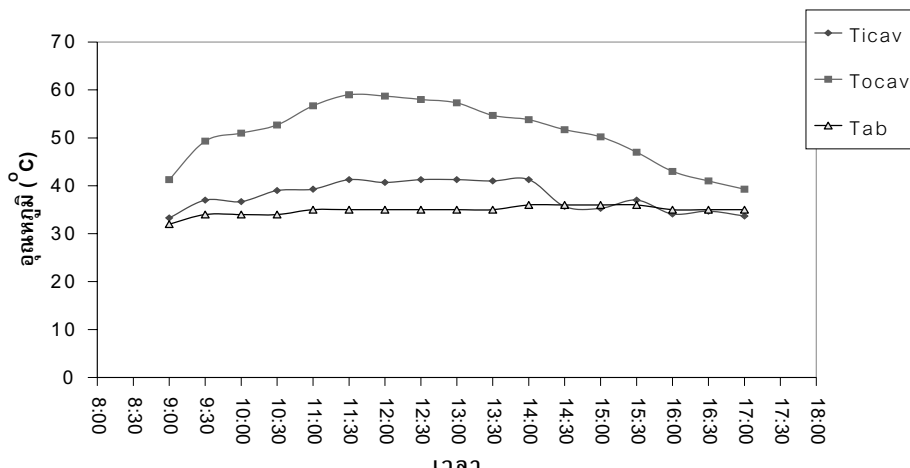


รูปที่ 4 เปรียบเทียบอุณหภูมิที่ทางออกของตัวรับรังสีแสงอาทิตย์แบบปิด (ใช้ผ้าสีดำคลุม และ แบบเปิด (ไม่มีผ้าสีดำคลุม))

จากราฟรูปที่ 4 อุณหภูมิเฉลี่ยทางออกสูงสุดของตัวรับรังสีแสงอาทิตย์ (T_{ocav}) 61.0°C อุณหภูมิเฉลี่ยทางเข้าสูงสุดของตัวรับรังสีแสงอาทิตย์ (T_{icav}) 36.2°C แตกต่างกันโดยเฉลี่ย 24.8°C อุณหภูมิเฉลี่ยทางเข้าของตัวรับรังสีแสงอาทิตย์ (T_{icav}) 34.1°C อุณหภูมิเฉลี่ยทางออกของตัวรับรังสีแสงอาทิตย์ (T_{ocav}) 49.6°C แตกต่างกันโดยเฉลี่ย 15.5°C อุณหภูมิอากาศแวดล้อมโดยเฉลี่ย (T_{ab}) 32.8°C อุณหภูมิเฉลี่ยทางออกสูงสุดของตัวรับรังสีแสงอาทิตย์ (T_{ocavn}) 43.3°C อุณหภูมิเฉลี่ยทางเข้าสูงสุดของตัวรับรังสีแสงอาทิตย์ (T_{icavn}) 39.3°C แตกต่างกันโดยเฉลี่ย 4.0°C อุณหภูมิเฉลี่ยทางเข้าของตัวรับรังสีแสงอาทิตย์ (T_{icavn}) 33.1°C อุณหภูมิเฉลี่ยทางออกของตัวรับรังสีแสงอาทิตย์ (T_{ocavn}) 36.2°C แตกต่างกันโดยเฉลี่ย 3.1°C อุณหภูมิอากาศแวดล้อมโดยเฉลี่ย (T_{abn}) 28.9°C อุณหภูมิ

ที่ทางออกของตัวรับรังสีแสงอาทิตย์แบบปิด (ใช้ผ้าสีดำคลุม) และแบบเปิด (ไม่มีผ้าสีดำคลุม) แตกต่างกันโดยเฉลี่ย 13.4°C อุณหภูมิเฉลี่ยทางออกสูงสุดของตัวรับรังสีแสงอาทิตย์ทั้งสองแบบแตกต่างกัน 17.7°C เมื่อพิจารณาเรียบเทียบอุณหภูมิภายในตู้อบแห่งพลังงานแสงอาทิตย์แบบปิดตัวรับรังสีแสงอาทิตย์ (ใช้ผ้าสีดำคลุม) และแบบเปิดตัวรับรังสีแสงอาทิตย์ (ไม่มีผ้าสีดำคลุม) พบว่า อุณหภูมิเฉลี่ยสูงสุดภายในตู้อบแห่งพลังงานแสงอาทิตย์ (T_{dlav}) (ระดับล่าง) 70.6°C อุณหภูมิเฉลี่ยสูงสุดภายในตู้อบแห่งพลังงานแสงอาทิตย์ (T_{duav}) (ระดับกลาง) 69.0°C อุณหภูมิเฉลี่ยสูงสุดภายในตู้อบแห่งพลังงานแสงอาทิตย์ (T_{duav}) (ระดับบน) 67.5°C ซึ่งอุณหภูมิในระดับต่าง ๆ ของเครื่องอบแห่งพลังงานแสงอาทิตย์ไม่มีความแตกต่างกันมาก อุณหภูมิเฉลี่ยภายในตู้อบแห่งพลังงานแสงอาทิตย์ (T_{dlav}) (ระดับล่าง) 55.6°C อุณหภูมิเฉลี่ยภายในตู้อบแห่งพลังงานแสงอาทิตย์ (T_{duav}) (ระดับกลาง) 56.3°C อุณหภูมิเฉลี่ยภายในตู้อบแห่งพลังงานแสงอาทิตย์ (T_{duav}) (ระดับบน) 55.9°C อุณหภูมิอากาศแวดล้อมโดยเฉลี่ย 32.8°C อุณหภูมิเฉลี่ยสูงสุดภายในตู้อบแห่งพลังงานแสงอาทิตย์ (T_{dlavn}) (ระดับล่าง) 58.8°C อุณหภูมิเฉลี่ยสูงสุดภายในตู้อบแห่งพลังงานแสงอาทิตย์ (T_{duavn}) (ระดับกลาง) 57.3°C อุณหภูมิเฉลี่ยสูงสุดภายในตู้อบแห่งพลังงานแสงอาทิตย์ (T_{duavn}) (ระดับบน) 57.7°C ซึ่งอุณหภูมิในระดับต่าง ๆ ของเครื่องอบแห่งพลังงานแสงอาทิตย์ไม่มีความแตกต่างกันมาก อุณหภูมิเฉลี่ยภายในตู้อบแห่งพลังงานแสงอาทิตย์ (T_{dlavn}) (ระดับล่าง) 43.0°C อุณหภูมิเฉลี่ยภายในตู้อบแห่งพลังงานแสงอาทิตย์ (T_{duavn}) (ระดับกลาง) 43.7°C อุณหภูมิเฉลี่ยภายในตู้อบแห่งพลังงานแสงอาทิตย์ (T_{duavn}) (ระดับบน) 43.5°C อุณหภูมิอากาศแวดล้อมโดยเฉลี่ย 32.8°C อุณหภูมิภายในตู้อบแห่งพลังงานแสงอาทิตย์แบบปิดตัวรับรังสีแสงอาทิตย์ (ใช้ผ้าสีดำคลุม) และแบบเปิดตัวรับรังสีแสงอาทิตย์ (ไม่มีผ้าสีดำคลุม) มีอุณหภูมิที่แตกต่างกันโดยเฉลี่ย 14.5°C

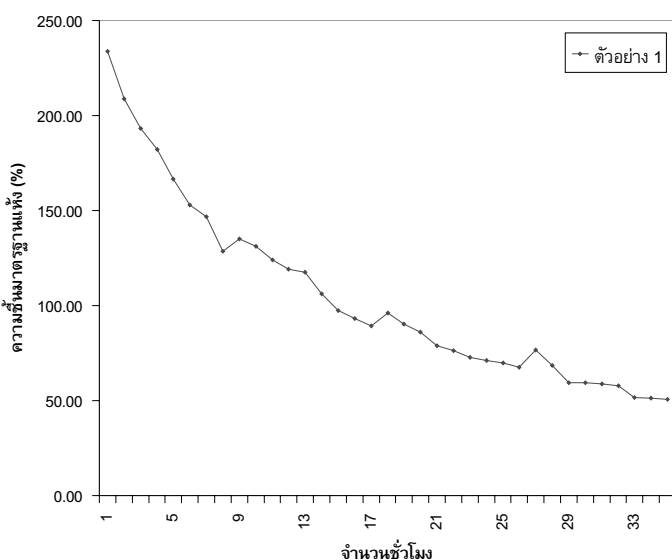
ขั้นตอนที่ 3 ทำการอบแห้งผลิตภัณฑ์ (กลวยน้ำว้า) จำนวน 150 – 200 กิโลกรัม คำนวณหาประสิทธิภาพเชิงความร้อนของตู้อบแห่งพลังงานแสงอาทิตย์ โดยไม่มีระบบเตาเผา Gasifier และไม่ใช้ผ้าสีดำคลุมตัวรับรังสีแสงอาทิตย์ เป็นการทดสอบภาคสนามกลางแจ้งเพื่อวิเคราะห์ผลการอบแห้งผลิตภัณฑ์จริง โดยทำการอบแห้งจนได้ผลิตภัณฑ์กลวยตากที่สấyและสามารถน้ำออกจำหน่ายได้จริง โดยใช้เวลาการอบแห้งผลิตภัณฑ์ 4-5 วัน ทำการเก็บผลิตภัณฑ์อบแห้งทุกเย็น เป็นการอบแห้งผลิตภัณฑ์แบบไม่ต่อเนื่อง



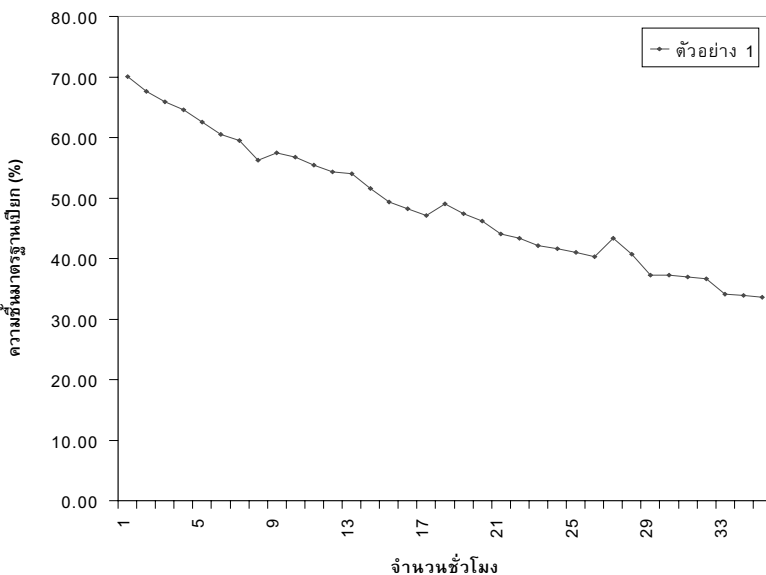
รูปที่ 5 ความสัมพันธ์ของอุณหภูมิที่ทางเข้าและทางออกของตัวรับรังสีแสงอาทิตย์ และอุณหภูมิอากาศแวดล้อม (วันที่ 20 ตุลาคม 2546)

จากราฟอุณหภูมิเฉลี่ยทางออกสูงสุดของตัวรับรังสีแสงอาทิตย์ (T_{ocav}) 59.0°C อุณหภูมิเฉลี่ยทางเข้าสูงสุดของตัวรับรังสีแสงอาทิตย์ (T_{icav}) 41.3°C แตกต่างกันโดยเฉลี่ย 17.7°C อุณหภูมิเฉลี่ยทางเข้าของตัวรับรังสีแสงอาทิตย์ (T_{icav}) 37.8°C อุณหภูมิเฉลี่ยทางออกของตัวรับรังสีแสงอาทิตย์ (T_{ocav}) 50.9°C แตกต่างกันโดยเฉลี่ย 13.1°C อุณหภูมิอากาศแวดล้อมโดยเฉลี่ย (T_{ab}) 34.9°C

เมื่อพิจารณาความสัมพันธ์อุณหภูมิภายในตู้แห้งพลังงานแสงอาทิตย์ และอุณหภูมิอากาศแวดล้อม พบร่วมกัน อุณหภูมิเฉลี่ยสูงสุดภายในตู้อบแห้งพลังงานแสงอาทิตย์ระดับล่าง (T_{dlav}) 62.7°C อุณหภูมิเฉลี่ยสูงสุดภายในตู้อบแห้งพลังงานแสงอาทิตย์ระดับกลาง (T_{dmav}) 65.0°C อุณหภูมิเฉลี่ยสูงสุดภายในตู้อบแห้งพลังงานแสงอาทิตย์ระดับบน (T_{duav}) 64.7°C ซึ่งอุณหภูมิในระดับต่างๆ ของเครื่องอบแห้งพลังงานแสงอาทิตย์ไม่มีความแตกต่างกันมาก อุณหภูมิเฉลี่ยภายในตู้อบแห้งพลังงานแสงอาทิตย์ระดับกลาง (T_{dlav}) 54.3°C อุณหภูมิเฉลี่ยภายในตู้อบแห้งพลังงานแสงอาทิตย์ระดับบน (T_{duav}) 56.6°C อุณหภูมิอากาศแวดล้อมโดยเฉลี่ย (T_{ab}) 34.9°C



รูปที่ 6 ความชื้นมาตรฐานแห้งของตัวอย่างผลิตภัณฑ์ที่



รูปที่ 7 ความซึ้บมาตรฐานเปียกของตัวอย่างผลิตภัณฑ์ที่ 1

ประสิทธิภาพของระบบเครื่องอบแห้งพลังงานแสงอาทิตย์แบบอุ่นคงค์

$$\eta_d = \frac{m_w h_{fg}}{Q_{use}} \times 100\%$$

เมื่อ	η_d	ประสิทธิภาพเครื่องอบแห้ง, %
m_w		มวลของน้ำที่ระเหยออกจากผลิตภัณฑ์, kg
h_{fg}		ความร้อนแฝงการยกライเป็นไอน้ำ 2,500 kJ/kg
Q_{use}		พลังงานที่นำมาใช้ในการอบแห้งทั้งหมด, kJ

ดังนั้นประสิทธิภาพของระบบเครื่องอบแห้งพลังงานแสงอาทิตย์แบบอุ่นคงค์โดยผลิตภัณฑ์ที่ใช้อบแห้งเป็นกลวยน้ำว้า เวลาที่ใช้ในการอบแห้งทั้งหมด 31 ชั่วโมง พลังงานที่ใช้ในการอบแห้งเท่ากับ 66.23 MJ/m²

$$\begin{aligned} \eta_d &= \frac{(108.52 \text{ kg} - 42.70 \text{ kg}) \times 2.5 \text{ MJ/kg} \times 100\%}{66.23 \text{ MJ/m}^2 \times 5.8 \text{ m}^2} \\ &= 42.83 \% \end{aligned}$$

ประสิทธิภาพของระบบเครื่องอบแห้งพลังงานแสงอาทิตย์แบบอุ่นคงค์เท่ากับ 42.83 %

ขั้นตอนที่ 4 ทำการทดสอบเตาเผา Gasifier ด้วยวัสดุเชื้อเพลิง (ช้างข้าวโพด) ร่วมกับเครื่องอบแห้งพลังงานแสงอาทิตย์ โดยทำการเก็บข้อมูลในตอนกลางวันโดยการจำลองปิดแผงรับแสงสีแสงอาทิตย์และอุ่นคงค์อบแห้ง เพื่อทำการเก็บข้อมูลการกระจายของอุณหภูมิภายในอุ่นคงค์อบแห้งโดยทำการใช้วัสดุเชื้อเพลิงช้างข้าวโพดจำนวน 50 กิโลกรัม

เมื่อพิจารณาความสัมพันธ์อุณหภูมิภายในตู้แห้งพลังงานแสงอาทิตย์ และอุณหภูมิอากาศแวดล้อม พบร่วมกับอุณหภูมิเฉลี่ยสูงสุดภายในตู้อบแห้งพลังงานแสงอาทิตย์ (ระดับล่าง) 72.0 °C อุณหภูมิเฉลี่ยสูงสุดภายในตู้อบแห้งพลังงานแสงอาทิตย์ (ระดับกลาง) 75.0 °C อุณหภูมิเฉลี่ยสูงสุดภายในตู้อบแห้งพลังงานแสงอาทิตย์ (ระดับบน) 75.0 °C ซึ่งอุณหภูมิในระดับต่างๆ ของเครื่องอบแห้งพลังงานแสงอาทิตย์ไม่มีความแตกต่างกันมาก อุณหภูมิเฉลี่ยภายในตู้อบแห้งพลังงานแสงอาทิตย์ (ระดับล่าง) 57.8 °C อุณหภูมิเฉลี่ยภายในตู้อบแห้งพลังงานแสงอาทิตย์ (ระดับกลาง) 57.9 °C อุณหภูมิเฉลี่ยภายในตู้อบแห้งพลังงานแสงอาทิตย์ (ระดับบน) 58.2 °C อุณหภูมิอากาศแวดล้อมโดยเฉลี่ย 34.9 °C (ใช้ความเร็วลม 7-8 m/sec ในการจุดไฟเชื้อเพลิงติดไฟ และ 0.7-1.0 m/sec หลังจากไฟในเตาติดตื้อแล้ว)

สรุปผลการวิจัย

ในโครงการเป็นการวิจัยเพื่อพัฒนาสร้างเครื่องอบแห้งพลังงานแสงอาทิตย์แบบอุ่นคงร่วมกับระบบแก๊สชีฟเฟอร์ (Gasifier System) ต้นแบบ โดยในการทดสอบประสิทธิภาพของระบบเครื่องอบแห้งพลังงานแสงอาทิตย์แบบอุ่นคง 42.83% ประสิทธิภาพตัวบาร์สีแสงอาทิตย์โดยเฉลี่ย 54.6% สามารถนำไปใช้ในการอบแห้งผลิตภัณฑ์ที่ต้องการอุณหภูมิต่ำและอุณหภูมิสูงได้ เป็นเทคโนโลยีสะอาด ใช้พลังงานสะอาด เมื่อใช้แล้วไม่ก่อผลกระทบต่อสิ่งแวดล้อมผลิตผลที่ได้สะอาดถูกสุขอนามัยและสามารถนำไปสู่การถ่ายทอดเทคโนโลยีสู่ชุมชนเกษตรกร

กิตติกรรมประกาศ

ผู้วิจัยได้รับขอขอบคุณ กระทรวงวิทยาศาสตร์ เทคโนโลยี และสิ่งแวดล้อมในการสนับสนุนวิจัย และขอขอบคุณมหาวิทยาลัยนเรศวรที่ให้การสนับสนุนด้านการวิจัยเป็นอย่างดีตลอดมา

เอกสารอ้างอิง

- บรรพธรรม คดิการ. (2529). ตัวกรองที่เหมาะสมสำหรับระบบผลิตก๊าซเชื้อเพลิงจากถ่านไม้. วิทยานิพนธ์ วศ.ม., สถาบันเทคโนโลยีพระจอมเกล้า ธนบุรี.
- พิเชษฐ์ ชุมทรัพย์. (2528). ผลของตัวแปรต่างๆ ที่มีต่อการผลิตก๊าซเชื้อเพลิงจากเตาผลิตก๊าซจากไม้แบบอากาศไฟลง. วิทยานิพนธ์ วศ.ม., จุฬาลงกรณ์มหาวิทยาลัย.
- มานพ ปิยะศิลป์. (2528). การทำเชื้อเพลิงแก๊สจากถ่านไม้สำหรับเครื่องยนต์ดีเซล. วิทยานิพนธ์ วศ.ม., จุฬาลงกรณ์มหาวิทยาลัย.
- วัฒนพงษ์ รักษาเชียร์. (2540). รายงานการวิจัยการศึกษาและวิจัยการใช้พลังงานแสงอาทิตย์ในอุตสาหกรรมอบแห้งผัก พิษณุโลก: ศูนย์วิจัยและฝึกอบรมพลังงานแสงอาทิตย์ มหาวิทยาลัยนเรศวร.
- วัฒนพงษ์ รักษาเชียร์, ศิรินุช จินดารักษ์, พสิษฐ์ มนีโชติ, ฉัตรชัย ศิริสัมพันธวงศ์ และ อัญชลี เทียนกฎ (2544). รายงานการวิจัยโครงการ การพัฒนา ส่งเสริม และเผยแพร่การใช้เครื่องอบแห้งพลังงานแสงอาทิตย์แบบอุ่นคง เพื่อประับผลทางการเกษตร. พิษณุโลก: ศูนย์วิจัยและฝึกอบรมพลังงานแสงอาทิตย์ มหาวิทยาลัยนเรศวร.
- วิภาวรรณ แสงส่ง. (2544). การเปรียบเทียบการผลิตเชรามิกโดยใช้พลังงานความร้อนจากเตาก๊าซชีฟเฟอร์แบบ Updraft และ Downdraft. วิทยานิพนธ์ วท.ม., สถาบันเทคโนโลยีพระจอมเกล้า ธนบุรี.
- Arayuyukti, W., Nguanprasert, O., & Hongsirimirachorn, S. (1984). air gasification of corn cobs in a tubular open top batch gasifier. Bangkok : Ministry of Science Technology and Energy.
- Ida, B. A. (1986). Gasification of small charcoal particles in buffled concentric tube reactor. *Journal of Asean conference on Energy from Biomass*, 25, 96-100.